

触媒層内液水飽和モデルの開発

杵淵 郁也

東京大学 大学院工学系研究科 機械工学専攻

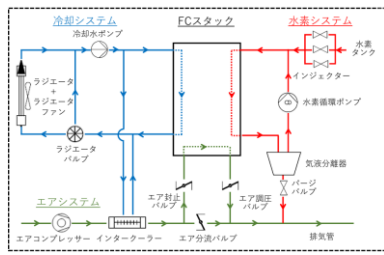
シミュレーションGr(京都大学 河瀬GL)事業内容説明会

2025年1月29日 NEDO川崎23F 2304会議室

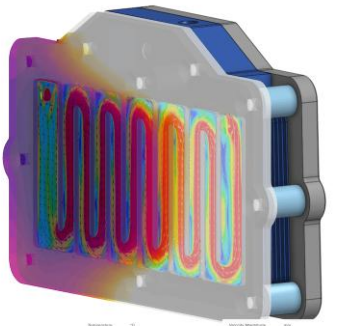


固体高分子形燃料電池内の物質輸送解析

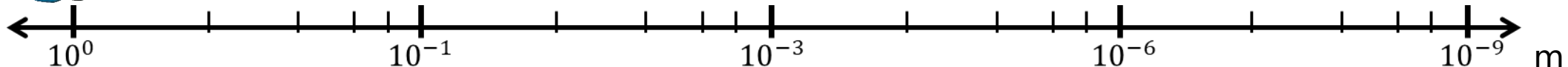
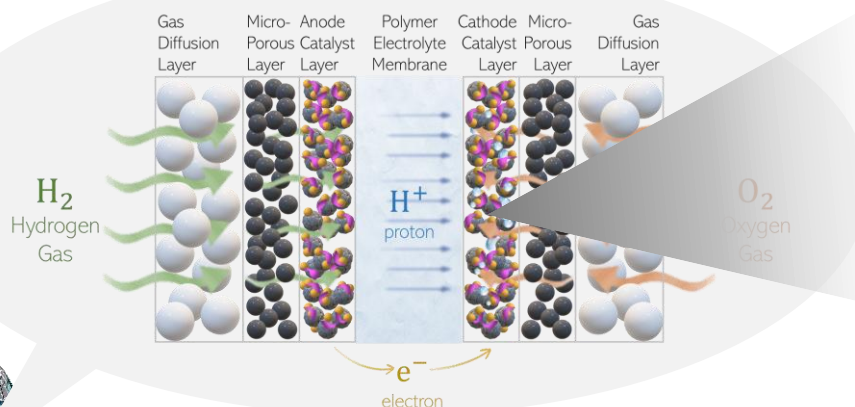
1



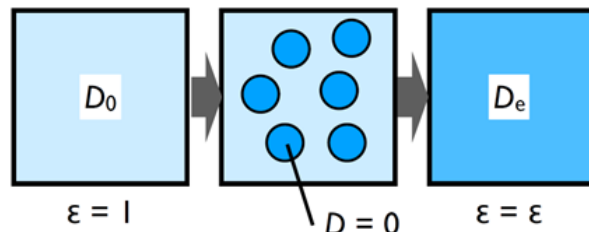
<https://www.ch.tkyoto-u.ac.jp/ja/information/laboratory/3koza/fc-dynamo>



<https://www.simscale.com/blog/hydrogen-fuel-cell-simulation-and-modeling/>



Multi-physics

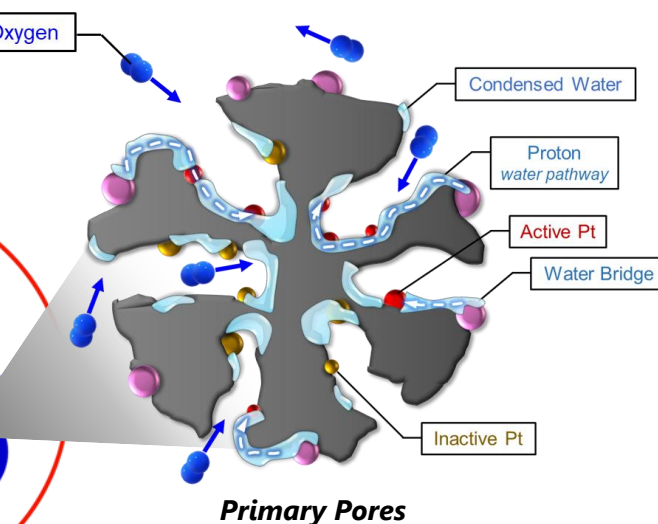
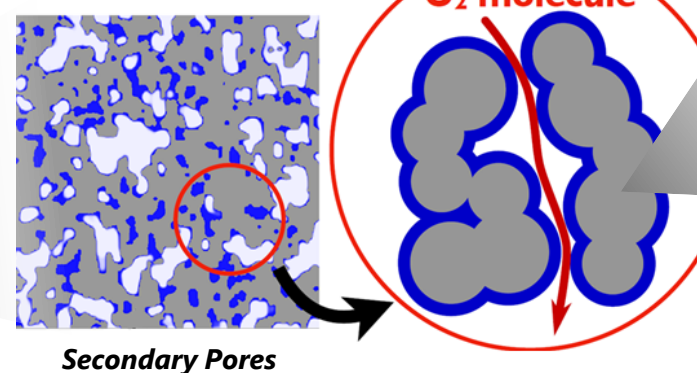


Bruggeman correlation

[V. D. Bruggeman, *Ann. Phys.*, 1935]

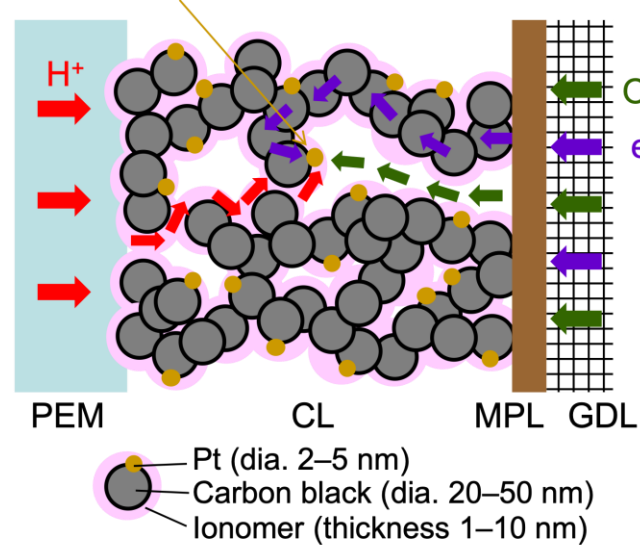
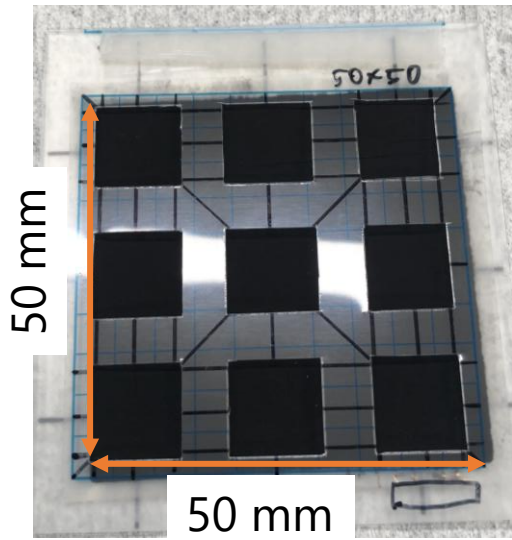
$$\frac{\varepsilon}{\tau} = \frac{D_e}{D_0} = \varepsilon^a$$

$a=1.5$ (spheres)
 $a=2$ (cylinders)

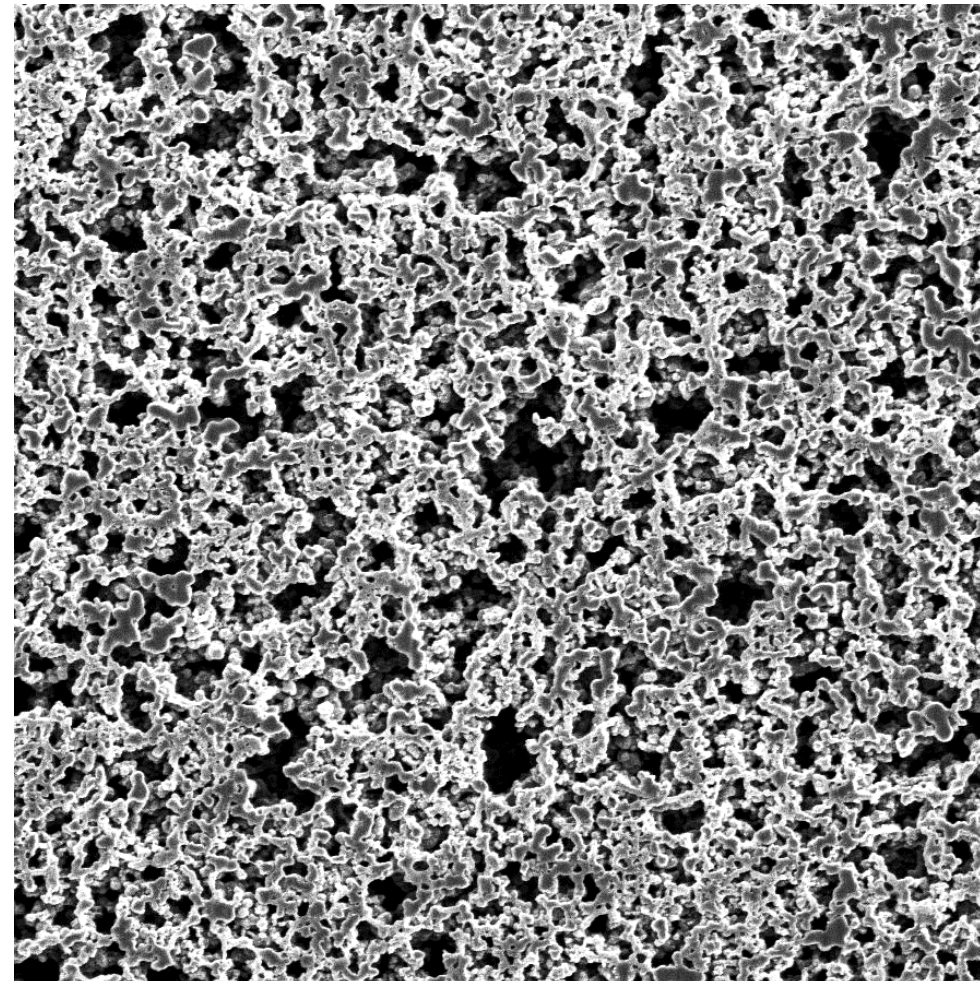


Multi-scale

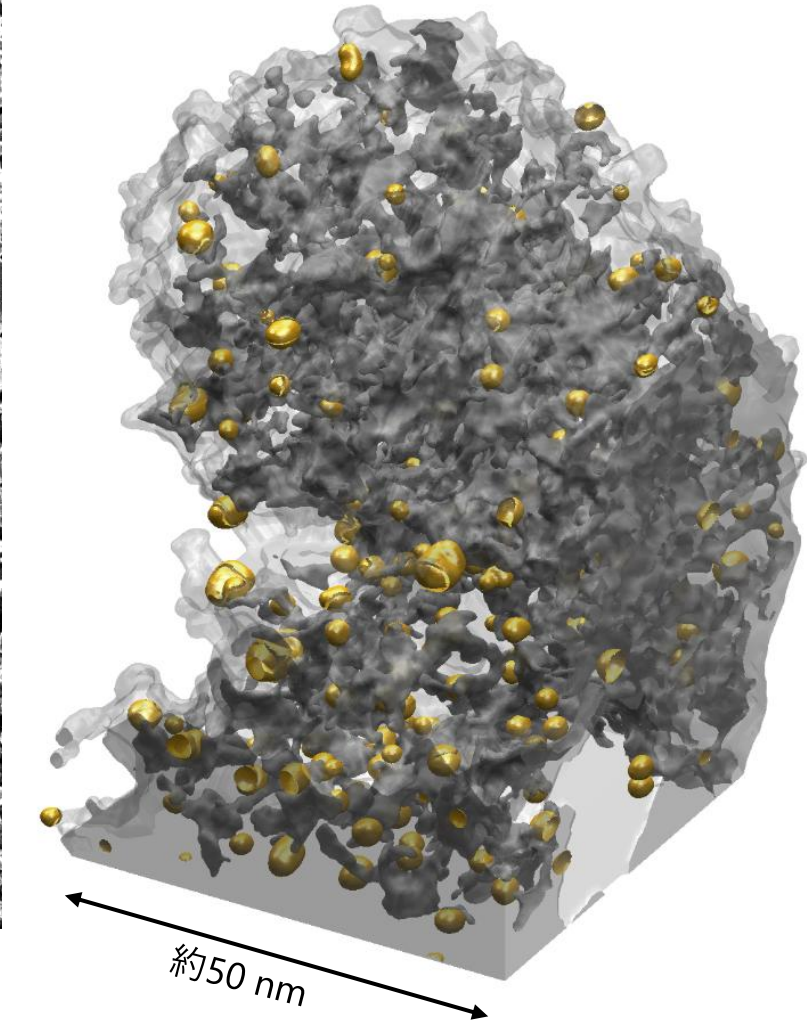
カソード触媒層



● FIB-SEM連続断面像（二次細孔構造）

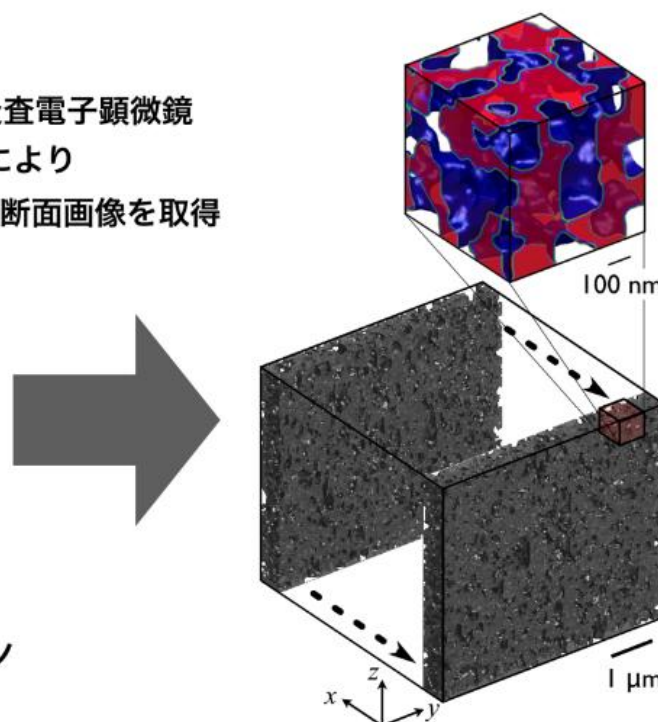
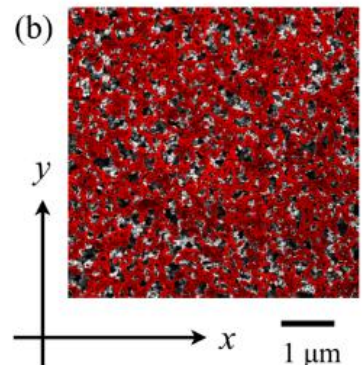
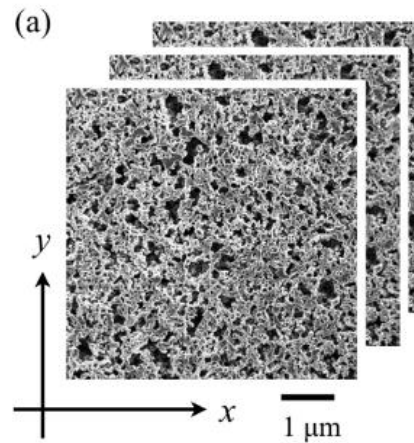


● 3D TEM像
(触媒担体粒子)

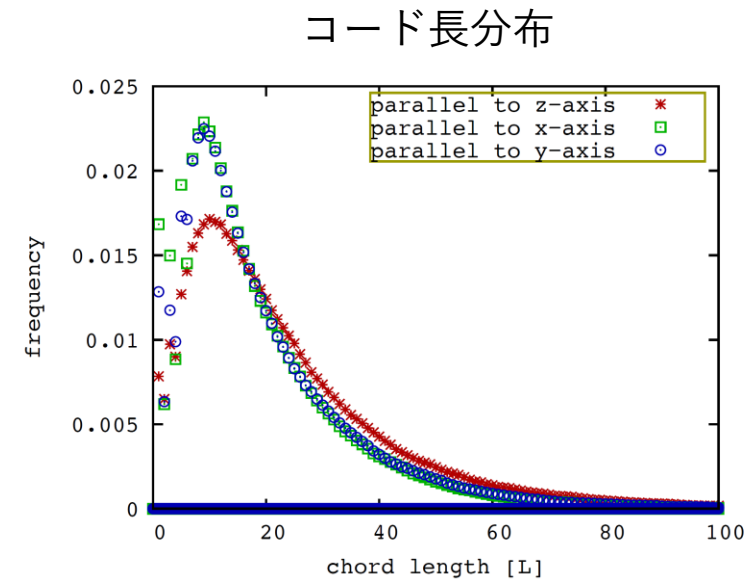


触媒層三次元構造モデルの作成

触媒層のクライオFIB-SEM連続断面画像から
高精度な三次元構造モデルを構築

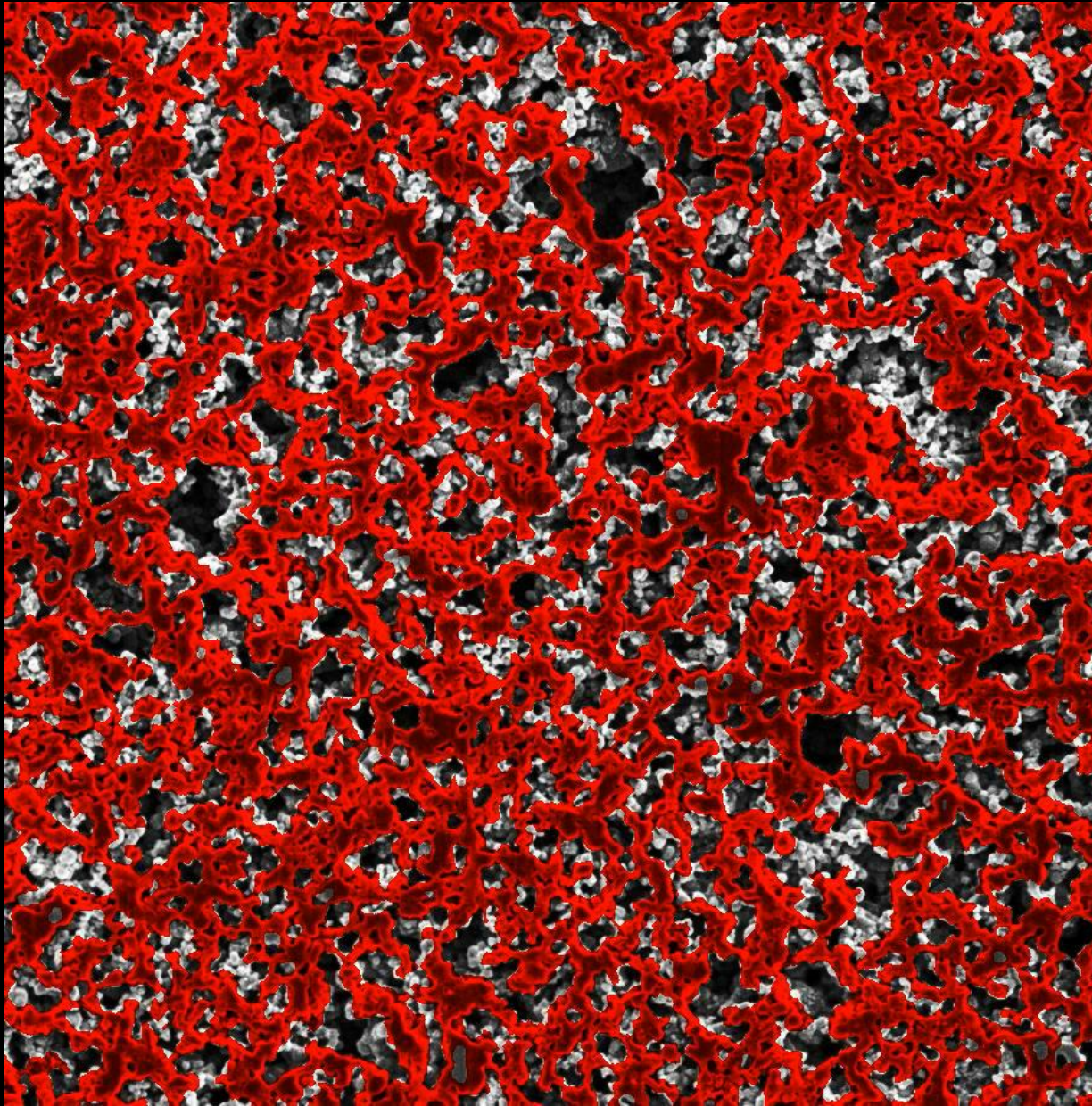


触媒層の三次元構造数値モデル
(TECI10V30E・解像度 6 nm)



課題

- FIB加工およびSEM観察方向に起因する構造異方性の低減
- アイオノマー被覆分布を含む構造モデルの生成方法の確立



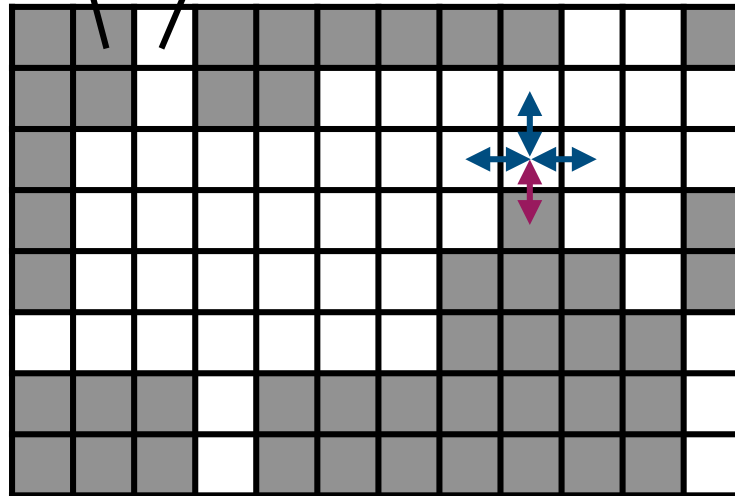
— 1 μ m

格子密度汎関数法による相変化解析

Y. Yoshimoto, T. Hori, I. Kinefuchi, and S. Takagi, *Phys. Rev. E* **96**, 043112 (2017).

● 格子密度汎関数理論に基づくメソ細孔内の相変化解析

固体 流体



- ↔ 流体–流体間の相互作用 ε_{ff}
- ↔ 固体–流体間の相互作用 ε_{sf}

Helmholtz 自由エネルギーの理想気体成分

$$\Omega(\{\rho\}) = k_B T \sum_i [\rho_i \ln \rho_i + (1 - \rho_i) \ln(1 - \rho_i)] - \frac{\varepsilon_{ff}}{2} \sum_i \sum_a (1 - \chi(i, a)) \rho_i \rho_{i+a} - \varepsilon_{sf} \sum_i \chi(i, a) \rho_i$$

流体–流体間の相互作用 固体–流体間の相互作用

$a = (\pm 1, 0, 0), (0, \pm 1, 0), (0, 0, \pm 1)$

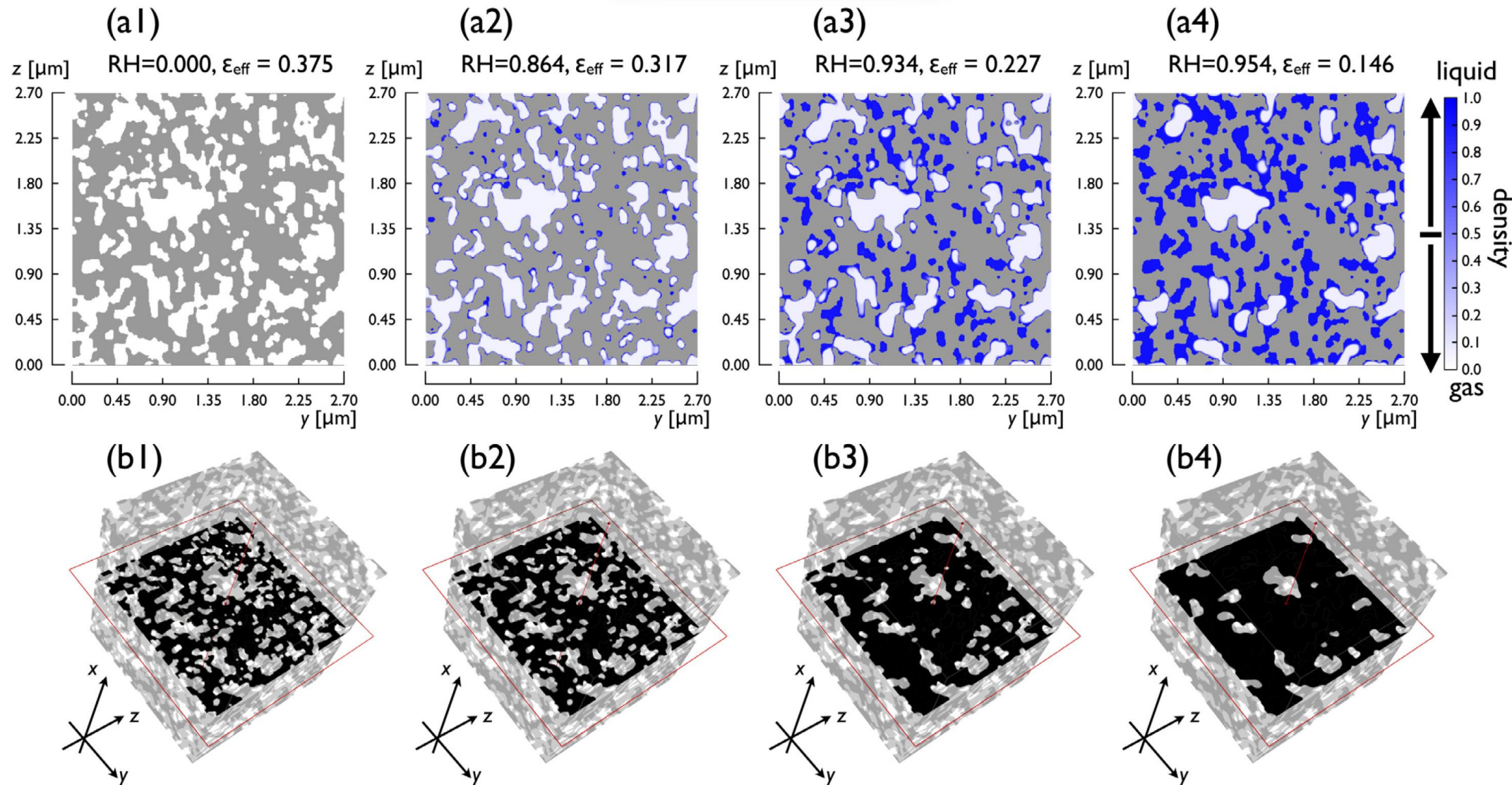
化学ポテンシャル ただし $\chi(i, a) = \begin{cases} 1 & i+a \text{ が固体のとき} \\ 0 & i+a \text{ が流体のとき} \end{cases}$

$$\left(\frac{\partial \Omega}{\partial \rho_i} \right)_{\mu, T} = 0 \text{ for } \forall \quad \text{となる密度分布が平衡状態に対応}$$

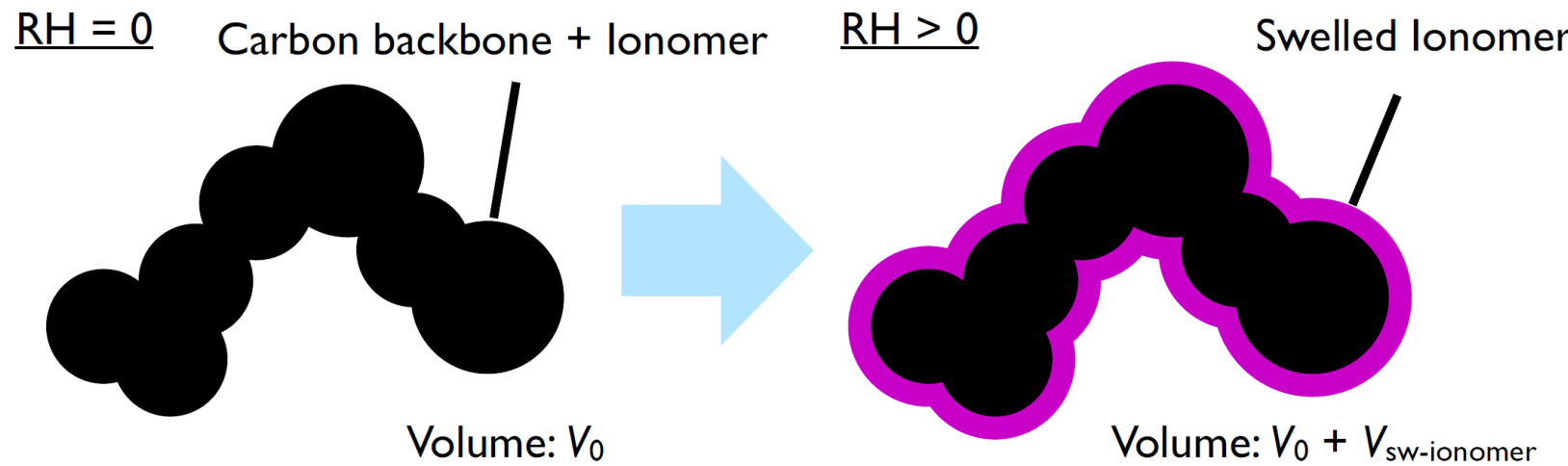
Kelvin式に基づく毛管凝縮モデルが適用できない複雑形状に適用可能

● モンテカルロ法による酸素輸送解析（液水生成構造に対する拡散性評価）

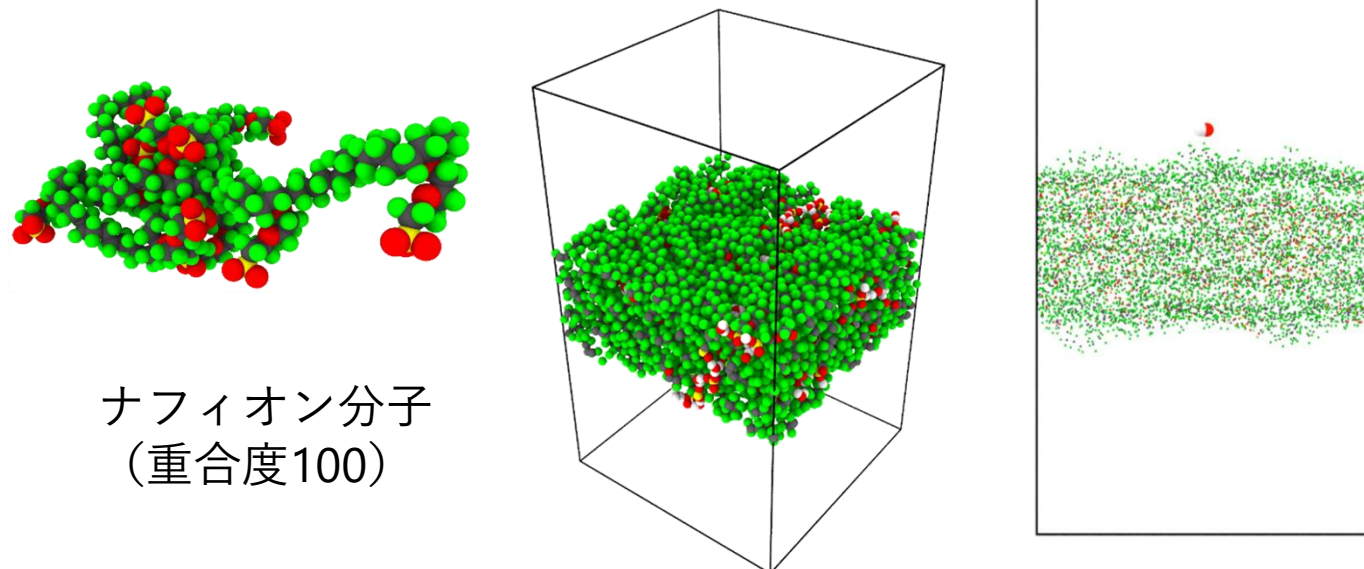
計算例（アイオノマー膨潤無し）



触媒層構造およびアイオノマー膨潤モデル



●ナフィオン膨潤のGCMC/MD解析



アイオノマーに関する仮定

- ・アイオノマーの被覆が均一
- ・固体表面から法線方向に均一に膨潤する
- ・膨潤体積はRHに比例
→ RH = 100%において膨潤体積を0%~40%の範囲で変化させて、酸素輸送特性への影響を評価

触媒層構造

- TEC10V30E, I/C = 1.0

多孔体内的気体拡散解析

有効拡散係数 $D_e = \frac{\varepsilon_{\text{eff}}}{\tau} D_0$



$$\frac{\varepsilon_{\text{eff}}}{\tau} = \frac{D_e(\text{Kn} = \infty)}{D_0(\text{Kn} = \infty)} = \frac{D_e^\infty}{D_K}$$

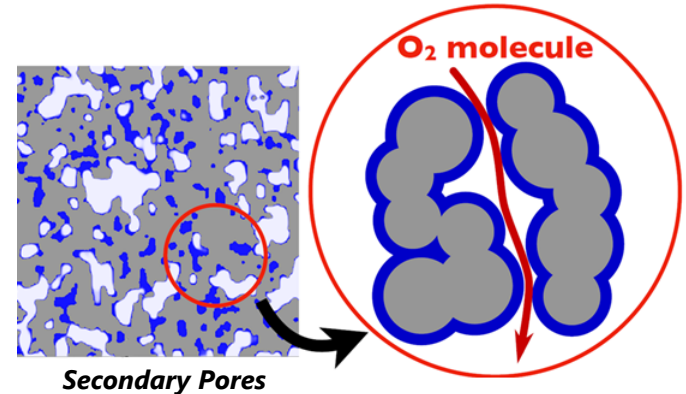
} Monte-Carlo
Simulations

D_e^∞ , the effective diffusion coefficient in the Knudsen regime can be evaluated using mean-square displacement (MSD):

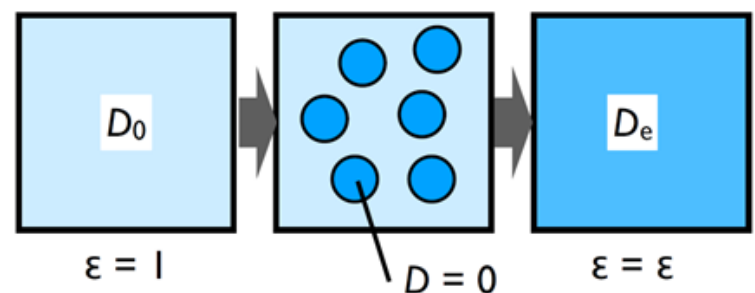
$$D_e^\infty = \varepsilon_{\text{eff}} \lim_{t \rightarrow \infty} \frac{\langle |\mathbf{r}(t) - \mathbf{r}(0)|^2 \rangle}{6t}$$

D_K , the Knudsen diffusion coefficient can be evaluated from

$$D_K = \frac{v}{3} \left(\frac{\langle l^2 \rangle}{2\langle l \rangle^2} - \beta \right) \langle l \rangle$$



Knudsen Diffusion and
Monte Carlo Simulation



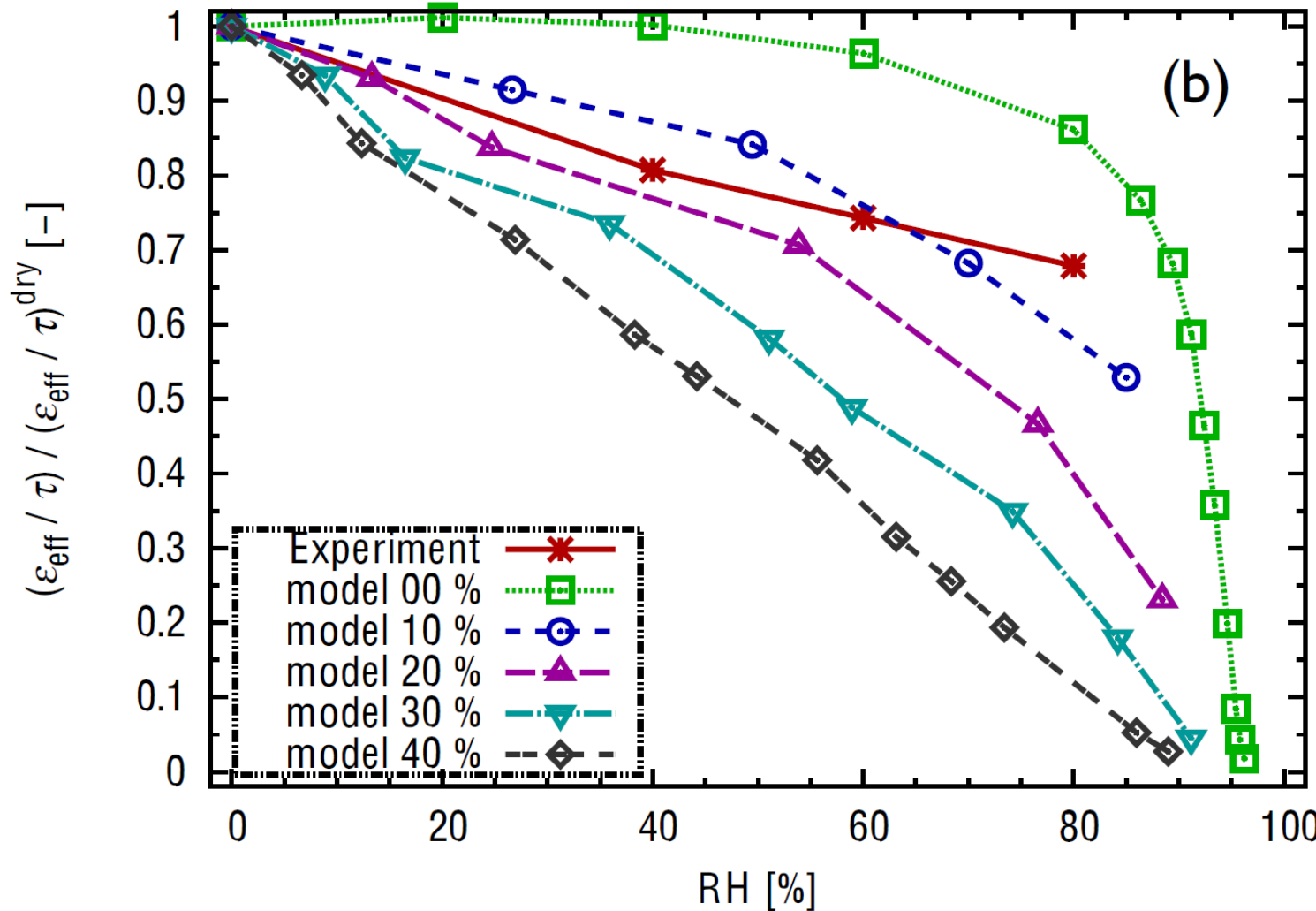
Bruggeman correlation

[V. D. Bruggeman, Ann. Phys., 1935]

$$\frac{\varepsilon}{\tau} = \frac{D_e}{D_0} = \varepsilon^a$$

$a=1.5$ (spheres)
 $a=2$ (cylinders)

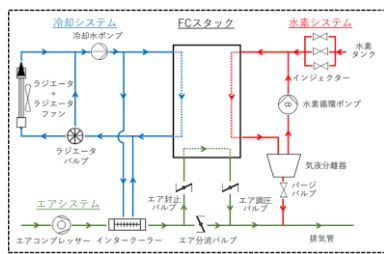
$\varepsilon_{\text{eff}}/\tau$ (空隙率／屈曲度) の相対湿度依存性



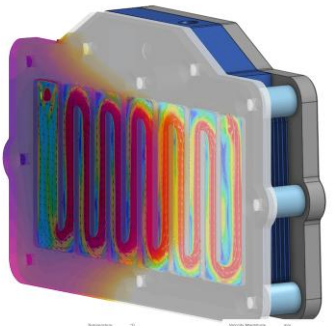
- 乾燥条件 (RH=0%) の $\varepsilon_{\text{eff}}/\tau$ からの相対変化で評価
- アイオノマー膨潤体積 10% @RH=100% のモデルが実験結果と比較的良く一致

固体高分子形燃料電池内の物質輸送解析（再掲）

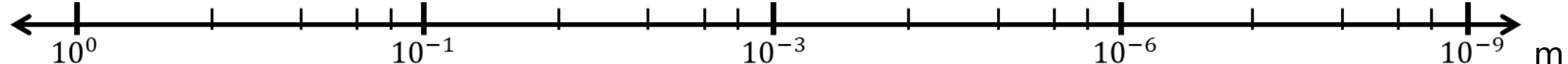
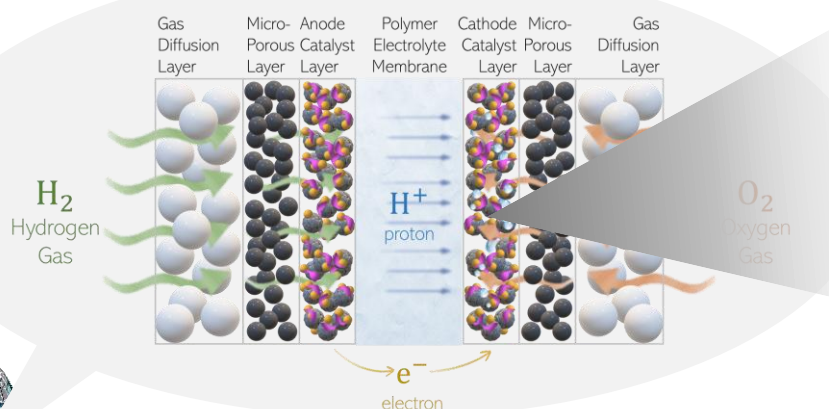
10



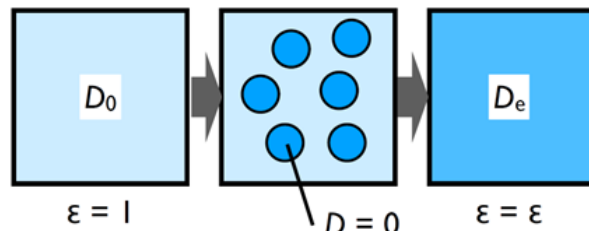
<https://www.ch.tkyoto-u.ac.jp/ja/information/laboratory/3koza/fc-dynamo>



<https://www.simscale.com/blog/hydrogen-fuel-cell-simulation-and-modeling/>



Multi-physics

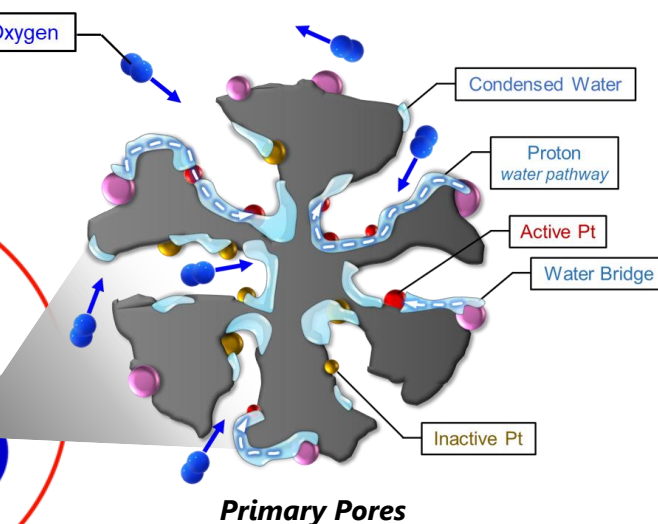
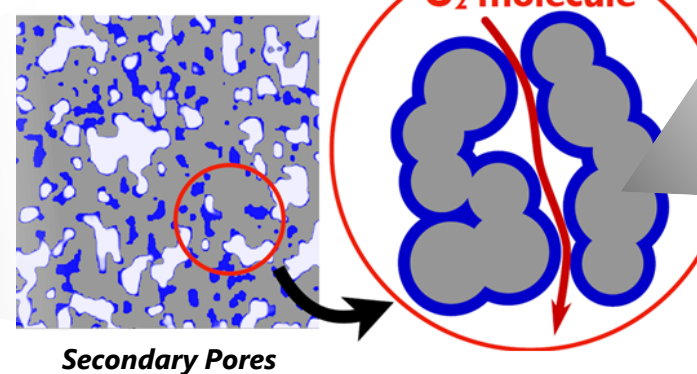


Bruggeman correlation

[V. D. Bruggeman, *Ann. Phys.*, 1935]

$$\frac{\varepsilon}{\tau} = \frac{D_e}{D_0} = \varepsilon^a$$

$a=1.5$ (spheres)
 $a=2$ (cylinders)

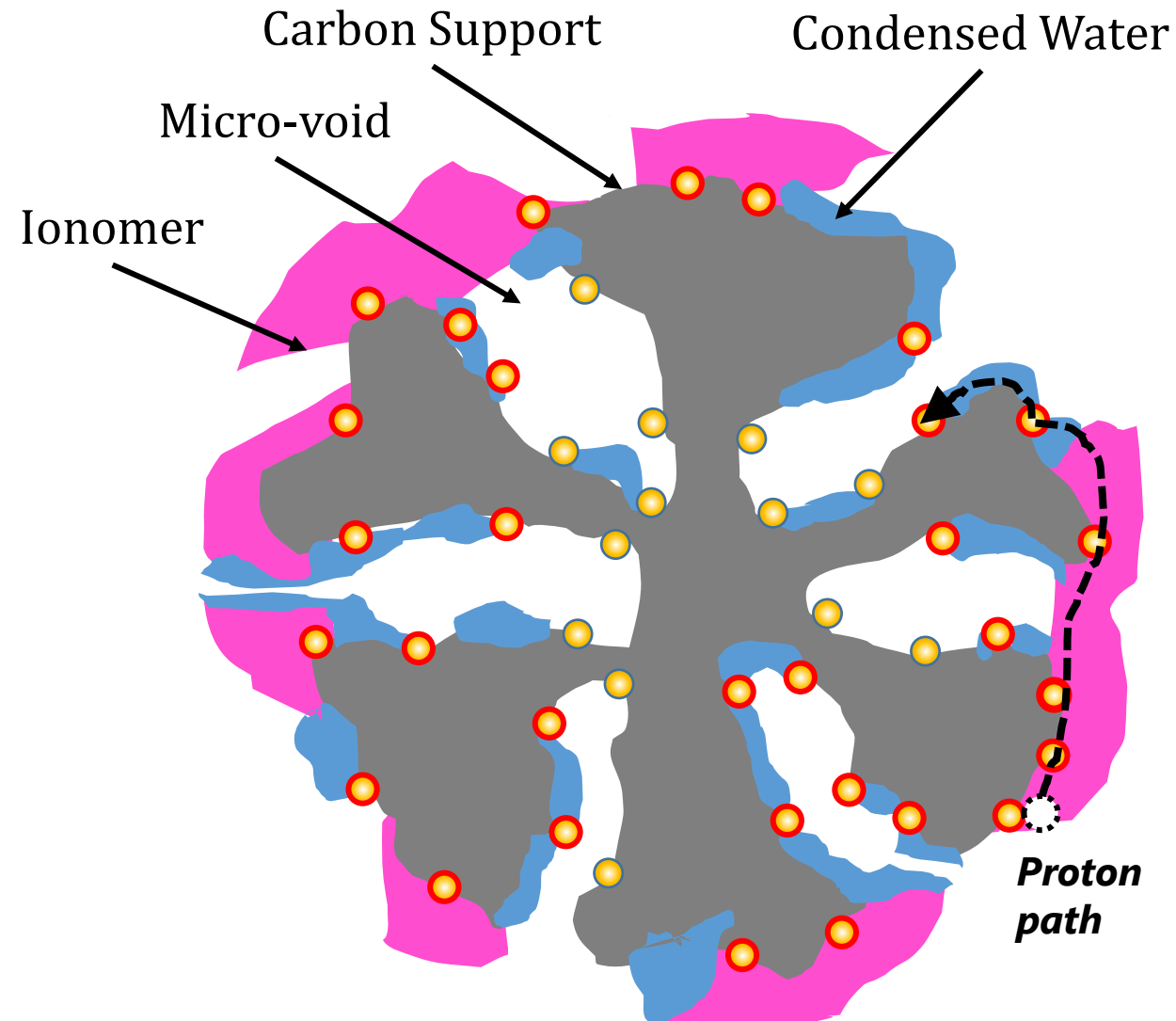


Multi-scale

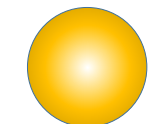
多孔性触媒担体内部の白金利用率の変化

11

電気化学的表面積 (ECSA : Electrochemical surface area)

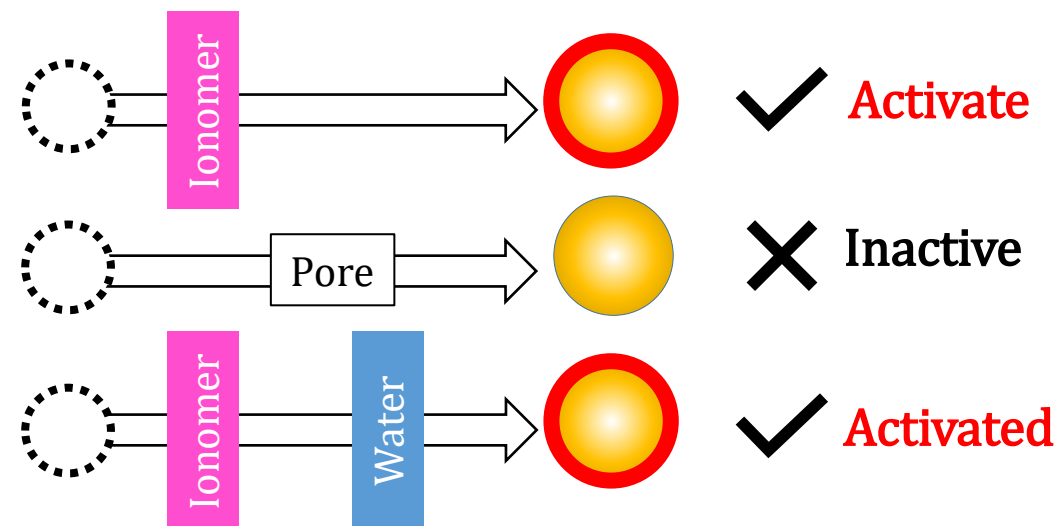


Platinum Particle (**Active**)
in-contact with ionomer



Platinum Particle (**Inactive**)
no contact with ionomer

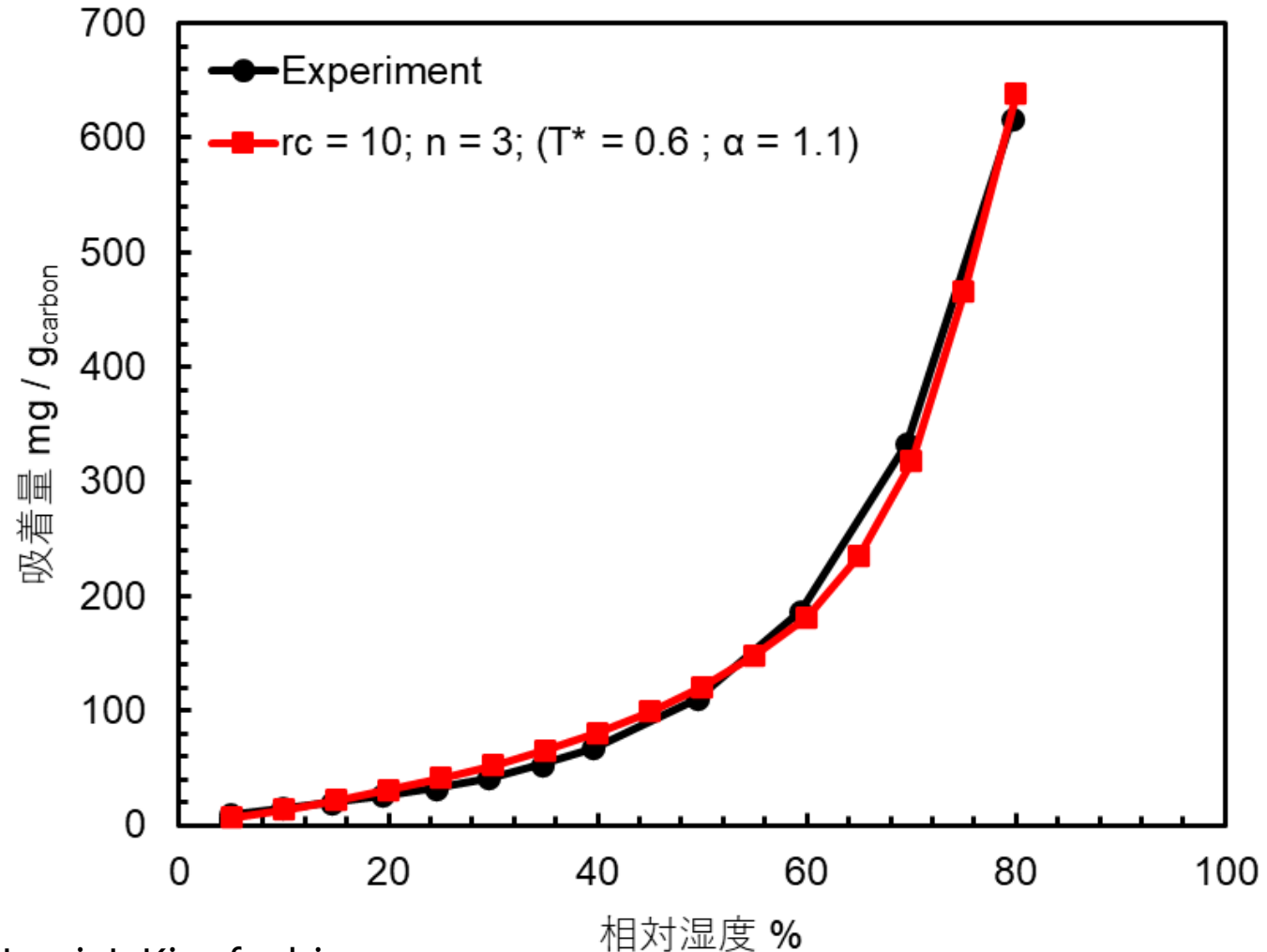
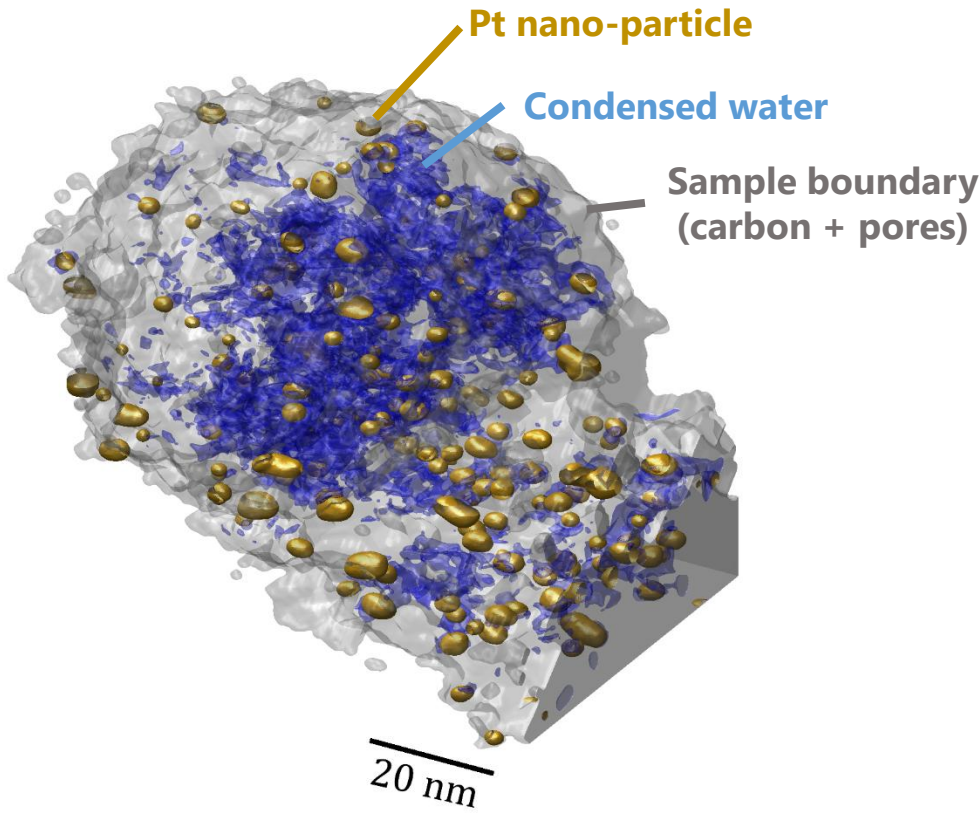
Proton Pathway



多孔性触媒担体の吸着等温線の再現

LDFT Simulation

トヨタMIRAI（第2世代）のカソード触媒層材料を対象

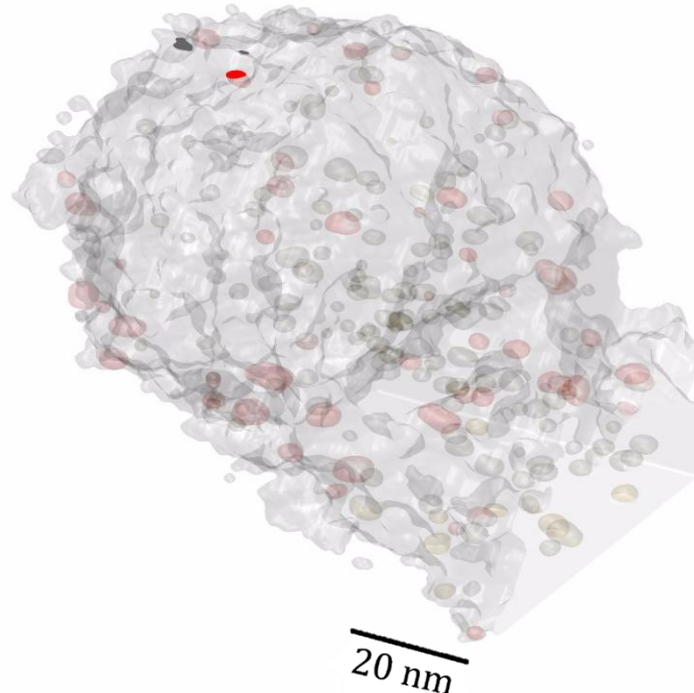


多孔性触媒担体内の液水分布

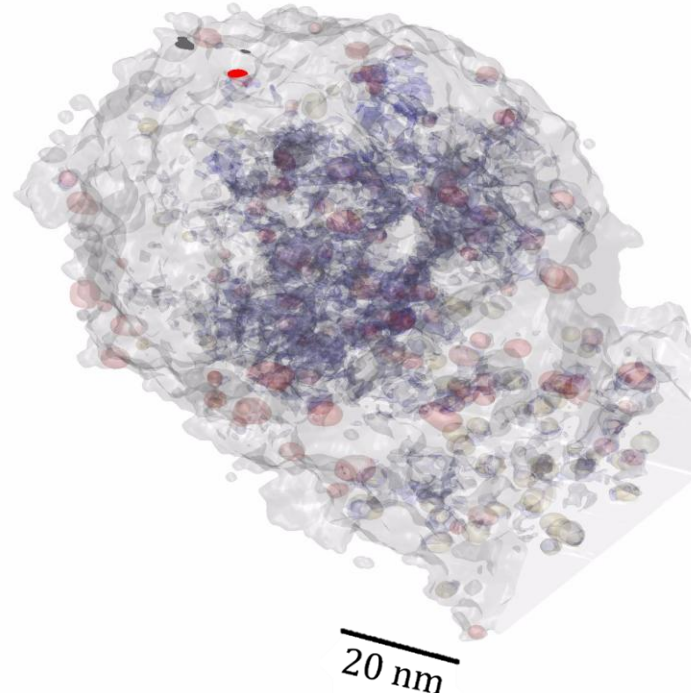
Pt utilization based on LDFT simulation (Wet)

The goal is to evaluate whether Pt nanoparticles “**have access**” to the surface of the particle through “**water bridges**”.

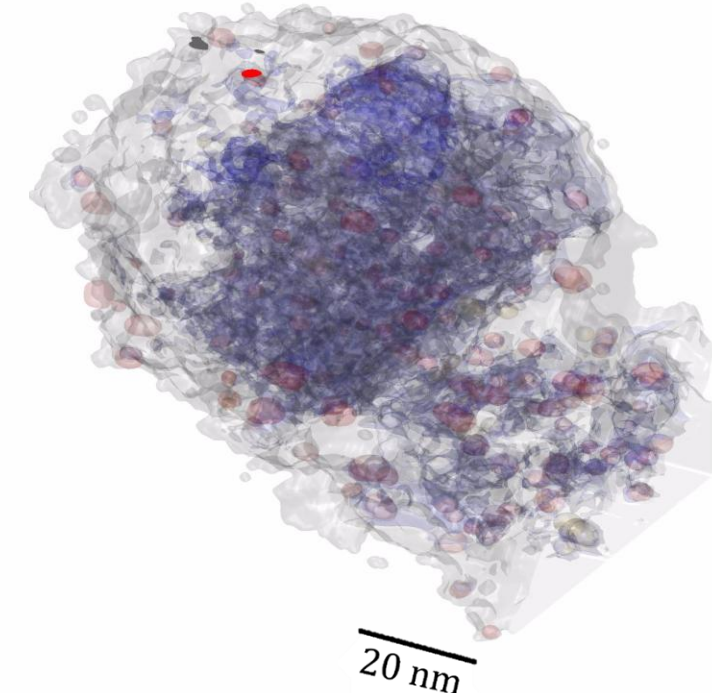
- Inactive Platinum
- Active Platinum
- Sample Boundary (Carbon + Pore)
- Condensed Water



RH = 00%
Active Pt = 28%



RH = 60%
Active Pt = 62%



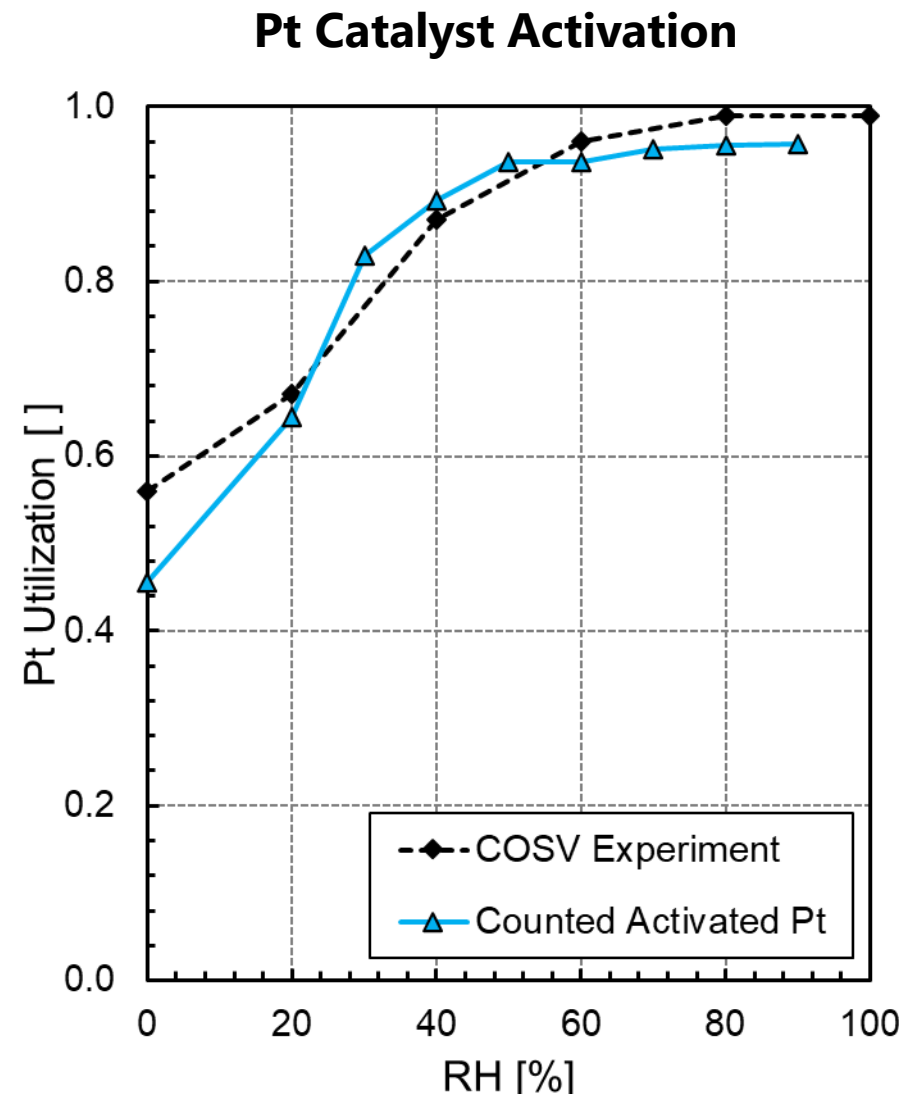
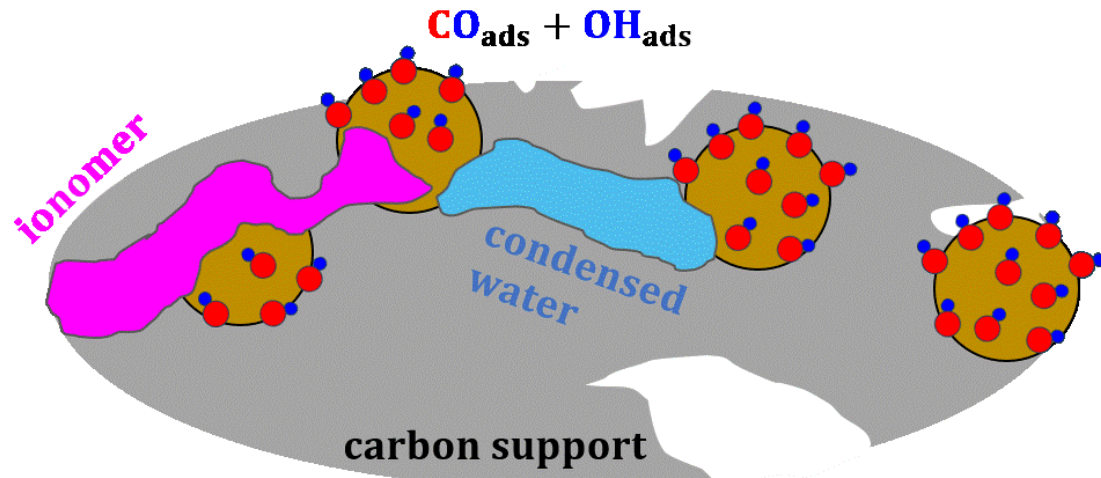
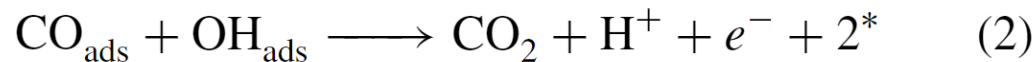
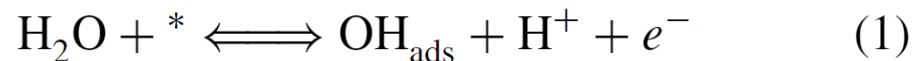
RH = 80%
Active Pt = 87%

白金利用率

多孔性触媒担体「内部」の白金利用率の湿度依存性の説明に成功

Comparison with
**Carbon Monoxide
Stripping Voltammetry (COSV)**

*ECSA by electrooxidation of adsorbed
CO monolayer on the catalyst surface.*



まとめ

実材料の三次元構造データを用いて、カソード触媒層内の水の相変化、酸素拡散、プロトン伝導を評価するシミュレーションツールを構築

対象：触媒担体粒子内の細孔（数nm）、二次細孔（数十nm～数μm）

手法：格子密度汎関数法(相変化), 気体拡散(希薄気体力学), 画像処理(断面抽出)

実験結果の理解、材料設計指針の提示

- C. Otic et al., ACS Appl. Mater. Interfaces 16, 20375 (2024).
- T. Kaneko et al., Int. J. Heat Mass Transf. 200, 123491 (2022).
- S. Shimotori et al., Phys. Rev. E 104, 045105 (2021).
- T. Kaneko et al., Int. J. Heat Mass Transf. 150, 119277 (2020).
- M. Nakauchi et al., J. Phys. Chem. C 123, 7125 (2019).
- T Hori et al., Phys. Rev. E 97, 013101 (2018).
- Y. Yoshimoto et al., Phys. Rev. E 96, 043112 (2017).
- A. Fukushima, J. Phys. Chem. C 119, 28396 (2015).

